

Eingabe: Farbmetrisches Drucker-Reflektiv-System FRS06

für Buntton $h^* = lab^*h = 37/360 = 0.102$

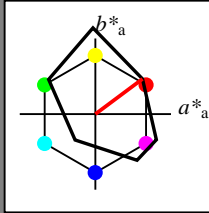
lab^*ch und lab^*nch

D65: Buntton O

LCH*Ma: 33 78 37

olv*Ma: 1.0 0.0 0.0

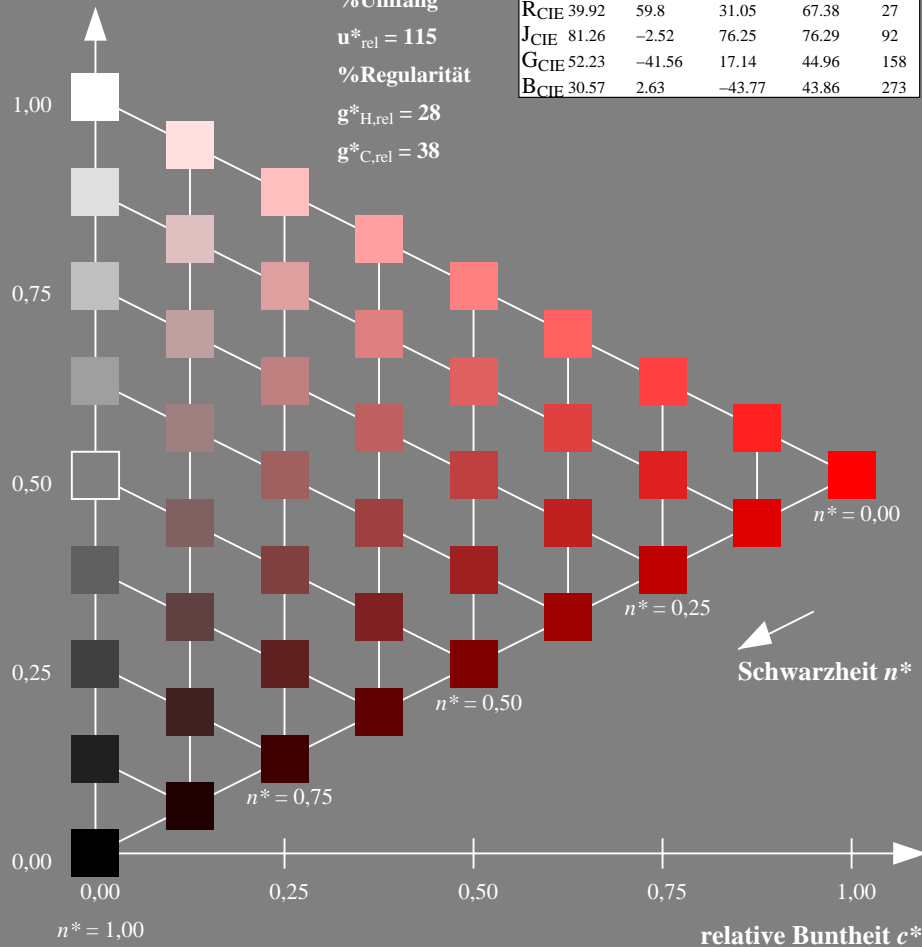
Dreiecks-Helligkeit t^*



FRS06; adaptierte CIELAB-Daten

	$L^*=L^*_a$	a^*_a	b^*_a	$C^*_{ab,a}$	$h^*_{ab,a}$
O _{Ma}	32.57	62.32	46.49	77.75	37
Y _{Ma}	82.73	-3.16	113.99	114.03	92
L _{Ma}	39.43	-61.79	45.84	76.95	143
C _{Ma}	47.86	-26.79	-34.24	43.49	232
V _{Ma}	10.16	55.12	-61.03	82.24	312
M _{Ma}	34.5	80.68	-33.92	87.52	337
N _{Ma}	6.25	0.0	0.0	0.0	0
W _{Ma}	91.97	0.0	0.0	0.0	0
R _{CIE}	39.92	59.8	31.05	67.38	27
J _{CIE}	81.26	-2.52	76.25	76.29	92
G _{CIE}	52.23	-41.56	17.14	44.96	158
B _{CIE}	30.57	2.63	-43.77	43.86	273

%Umfang
 $u^*_{rel} = 115$
 %Regularität
 $g^*_{H,rel} = 28$
 $g^*_{C,rel} = 38$



XG670-7, 9stufige Reihen für konstanten CIELAB Buntton 37/360 = 0.102 (links)

Ausgabe: Farbmetrisches Drucker-Reflektiv-System FRS06

für Buntton $h^* = lab^*h = 37/360 = 0.102$

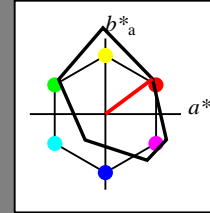
lab^*ch und lab^*nch

D65: Buntton O

LCH*Ma: 33 78 37

olv*Ma: 1.0 0.0 0.0

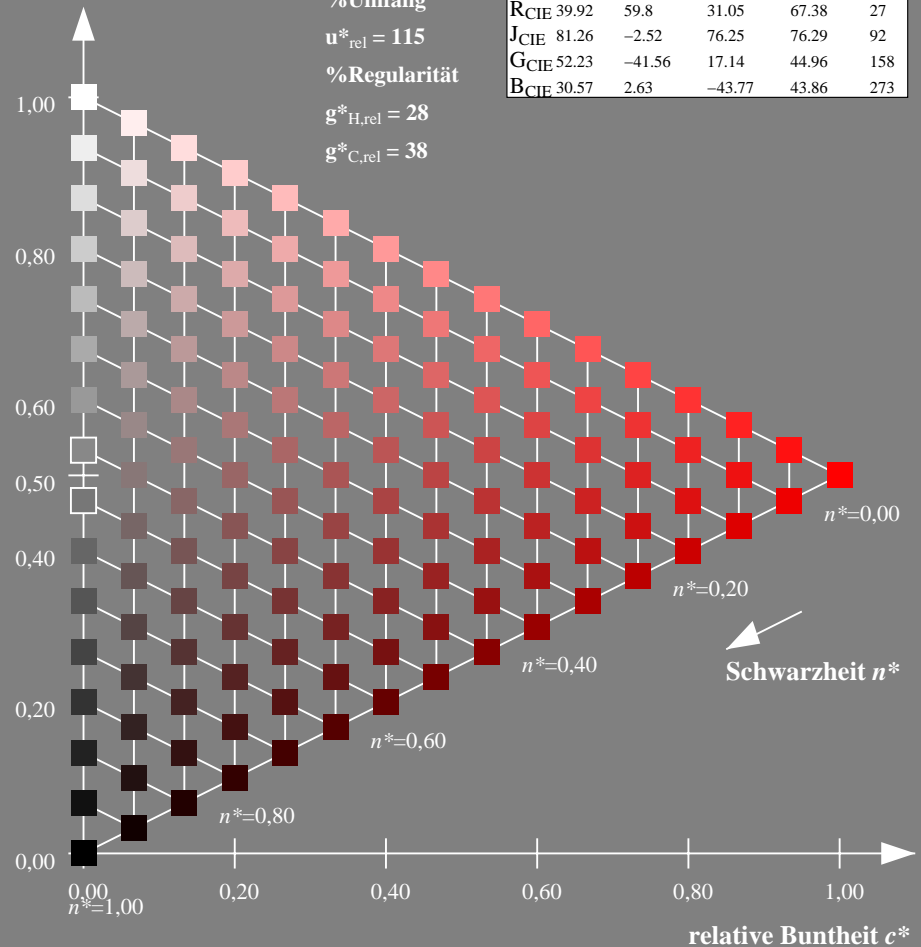
Dreiecks-Helligkeit t^*



FRS06; adaptierte CIELAB-Daten

	$L^*=L^*_a$	a^*_a	b^*_a	$C^*_{ab,a}$	$h^*_{ab,a}$
O _{Ma}	32.57	62.32	46.49	77.75	37
Y _{Ma}	82.73	-3.16	113.99	114.03	92
L _{Ma}	39.43	-61.79	45.84	76.95	143
C _{Ma}	47.86	-26.79	-34.24	43.49	232
V _{Ma}	10.16	55.12	-61.03	82.24	312
M _{Ma}	34.5	80.68	-33.92	87.52	337
N _{Ma}	6.25	0.0	0.0	0.0	0
W _{Ma}	91.97	0.0	0.0	0.0	0
R _{CIE}	39.92	59.8	31.05	67.38	27
J _{CIE}	81.26	-2.52	76.25	76.29	92
G _{CIE}	52.23	-41.56	17.14	44.96	158
B _{CIE}	30.57	2.63	-43.77	43.86	273

%Umfang
 $u^*_{rel} = 115$
 %Regularität
 $g^*_{H,rel} = 28$
 $g^*_{C,rel} = 38$



16stufige Reihen für konstanten CIELAB Buntton 37/360 = 0.102 (rechts)